

## РАЗРУШЕНИЕ ГОРНЫХ ПОРОД

УДК 624.1+534.1

### ЧИСЛЕННО-АНАЛИТИЧЕСКОЕ ИССЛЕДОВАНИЕ ПРОЦЕССА УДАРНОГО ПОГРУЖЕНИЯ ТРУБЫ В ГРУНТ С СУХИМ ТРЕНИЕМ. Ч. II. ВНЕШНЯЯ СРЕДА ДЕФОРМИРУЕМА

**Н. И. Александрова**

*Институт горного дела им. Н. А. Чинакала СО РАН, E-mail: alex@math.nsc.ru,  
Красный проспект, 54, 630091, г. Новосибирск, Россия*

Исследуется распространение продольных волн в упругой трубе, частично погруженной в среду с сухим трением. Математическая постановка задачи ударного погружения трубы в грунт опирается на модель продольных колебаний упругого стержня с учетом бокового сопротивления. Боковое действие грунта описывается законом контактного сухого трения. Решен ряд задач о продольном нагружении трубы, взаимодействующей с внешней упругой средой, проведено сопоставление численных и аналитических результатов. Сравниваются расчеты, полученные с учетом и без учета деформируемости среды, окружающей трубу.

*Продольные волны, упругий стержень, сухое трение, импульсное нагружение, численное моделирование*

Проблемы “поведения” труб в грунте возникают во многих технологических процессах: забивка и ударное извлечение свай, бестраншейная прокладка подземных коммуникаций с помощью забивания металлических труб в грунт, поведение подземных трубопроводов при землетрясениях. Движение разного рода стержневых элементов в механических системах также сопровождается трением. Одной из важнейших задач при этом является изучение влияния на волновой процесс трения внешней среды и боковой поверхности трубы или стержня. Исследованию вопросов взаимодействия тел с учетом трения посвящена обширная литература [1–40]. В [1–10] можно найти обзоры и исторические очерки по данной тематике.

Впервые волновые процессы в стержнях, окруженных средой, были рассмотрены Н. М. Герсевановым [11] в 1930 г. на основе теории Сен-Венана в связи с проблемой забивки свай в грунт. В дальнейшем задача о распространении продольных волн в стержне, на поверхности которого действует постоянная по амплитуде, но разная по направлению сила сухого трения, исследовалась в [7–25]. В этих работах внешняя среда, окружающая стержень, предполагается недеформируемой. Используется общий метод решения таких задач, который состоит в сведении рассматриваемой нелинейной задачи к ряду решаемых последовательно линейных задач. Основная проблема связана с определением границ областей по времени и продольной коор-

динате, внутри которых величина и направление силы трения постоянны. Направление действия сил трения зависит от знака скорости в этих волнах. Решение в каждой из областей строится учетом предварительно определенного знака скорости. Использование описанного подхода позволило получить решения для целого ряда задач при достаточно простых законах нагружения стержня.

В [8, 13, 15] рассмотрены нестационарные и стационарные одномерные задачи о движении трубопровода, взаимодействующего с вмещающей породой по закону внешнего сухого трения в рамках модели звукового и сверхзвукового обтекания конечного и бесконечного стержня, в [19] задача о погружении сваи в грунт решается численно в двумерной постановке.

Большое количество работ посвящено проблеме забивания свай в грунт [26–35]. В [26] экспериментальные данные записи ускорения молота используются при расчете распределения сопротивления грунта вдоль сваи. В [27] предложена простая динамическая модель для определения коэффициента сопротивления грунта, возникающего в процессе забивания сваи, расчеты сравнены с базой данных динамических тестов и обсуждается, как эта модель сопротивления грунта может быть использована в волновом уравнении, которое описывает движение сваи. В [28] динамический анализ нагруженной по боковой поверхности сваи осуществляется с помощью гранично-элементной формулировки для грунта. В [29, 30] используется метод конечных элементов для осесимметричной двумерной задачи погружения сваи в глину, на поверхности сваи и грунта применяется алгоритм скользящего фрикционного контакта. В [31] экспериментально исследуется влияние грунтовой пробки, которая формируется внутри забиваемой с открытым концом сваи, на статическую и динамическую реакцию сваи. В [32] на основе анализа волнового уравнения, предложенного в работе [22], оценивается несущая способность сваи и результаты расчетов сравниваются с экспериментальными данными. В [33, 34] численно решается задача о забивании сваи, при этом фрикционный контакт свая–грунт моделируется с использованием теории упрочнения/разупрочнения пластичности. В [35] проводится конечно-элементный анализ на основе кулоновского закона контактного трения на поверхности свая–грунт, результаты сравниваются с экспериментальными данными. Большое количество экспериментальных работ, посвященных проблеме погружения трубы в грунт, представлены в [36–40]. Заметим, что в работах [26–40] не рассматриваются нестационарные проблемы взаимодействия упругого грунта с погружаемой свайей.

Динамическая задача о распространении возмущений в композите, состоящем из волокна и связующего, на поверхности контакта которых задано сухое трение, приведена в [41]. Движение волокна и связующего элемента описывается одномерными волновыми уравнениями, для которых получено аналитическое решение и проведены численные расчеты методом конечных элементов. Нагрузка предполагалась растущей линейно со временем. Основное внимание уделено исследованию эффекта запаздывания возмущений по сравнению со скоростью распространения волны в стержне.

Данная работа является продолжением [21], но здесь учтено деформирование окружающей среды и выполнено сравнение расчетов, проведенных по двум моделям, определены пределы применимости более простой модели. Использован способ сквозного численного расчета волновых процессов в системах с сухим трением, позволяющий рассматривать нагрузку любого типа. Получены приближенные аналитические решения одномерной задачи о распространении возмущений в радиальном направлении в упругой среде, взаимодействующей

щей с трубой без проскальзывания, при продольном воздействии, приложенном к торцу трубы. Эти решения являются тестовыми для конечно-разностных решений двумерных задач, в которых на поверхности контакта трубы и среды задается либо упругое взаимодействие, либо сухое трение.

**Постановка задачи.** Математическая постановка задачи ударного погружения трубы в грунт опирается на модель продольных колебаний упругого стержня с учетом бокового сопротивления. Исследуется следующая смешанная динамическая осесимметричная задача о взаимодействии упругой цилиндрической трубы с упругим слоем грунта. По торцу трубы наносится продольный удар массивным телом. Движение трубы описывается одномерным волновым уравнением, боковое действие грунта при малых деформациях — упрощенными моделями упругой среды, а в состоянии текучести — законом сухого трения.

Рассматривается упругий трубчатый стержень ( $R$  — радиус;  $h$  — толщина стенки) длиной  $L$ , заглубленный в грунт на величину  $L_1$ . К его торцу прикладывается продольный полусинусоидальный импульс с амплитудой  $P_0$  и длительностью  $t_0$ :

$$Q(t) = P_0 \sin(\omega_* t) H_0(t_0 - t) H_0(t), \quad \omega_* = \pi / t_0, \quad (1)$$

где  $H_0(t)$  — ступенчатая функция Хевисайда.

Выберем систему координат так, чтобы ее начало совпадало с ударяемым концом стержня, а ось  $Z$  была направлена параллельно оси стержня в глубь среды. Движение стержня описывается одномерным волновым уравнением относительно перемещений  $U(t, z)$ :

$$\ddot{U} = c^2 U''_{,zz} + \tau(z, \varepsilon_{rz}). \quad (2)$$

Здесь  $c = \sqrt{E / \rho}$  — скорость продольной волны в стержне;  $E$  — модуль Юнга;  $\rho$  — плотность материала трубы;  $\tau$  — реакция среды.

Начальные условия нулевые:

$$U|_{t=0} = 0, \quad \dot{U}|_{t=0} = 0. \quad (3)$$

На торце стержня  $z = 0$  задается напряжение, торец  $z = L$  свободен от напряжений:

$$ES_t U'_{,z}|_{z=0} = -Q(t), \quad ES_t U'_{,z}|_{z=L} = 0, \quad (4)$$

где  $S_t = \pi h(2R - h)$  — площадь поперечного сечения трубы.

Зависимость  $\tau(z, \varepsilon_{rz})$  соответствует упругопластической диаграмме с учетом зуба текучести (рис. 1). Интерпретация диаграммы такова: упругий участок от 0 до  $\tau_0$  соответствует сцеплению трубы и среды; при достижении предельного сдвигового напряжения  $\tau_0$  начинается страгивание;  $\tau_1$  — напряжение, при котором происходит проскальзывание (обычно оно пропорционально прижимающей силе). При остановке текущего сечения трубы  $z > L - L_1$  вновь происходит сцепление с грунтом, которое в дальнейшем опять может быть нарушено приходом волн напряжений, отраженных от торцов. Направление действия сил трения определяется в зависимости от знака скорости в этих волнах. В данной работе предполагается, что  $\tau_0 = \tau_1$ .

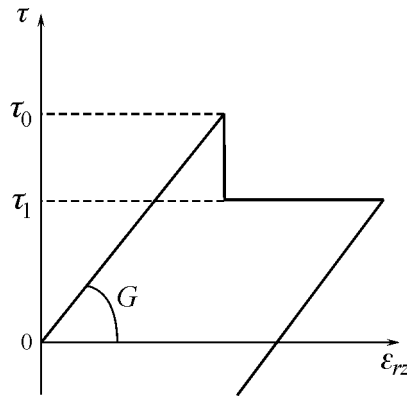


Рис. 1. Зависимость реакции среды от сдвиговой деформации

На упругой стадии процесса взаимодействия, когда  $abs(\tau) < \tau_0$ , для определения сдвигового напряжения грунта, действующего на трубу, используем двумерную модель среды с одним перемещением  $V$  в направлении  $z$ :

$$\ddot{V} = a^2 V''_{,zz} + b^2 \left( V''_{rr} + \frac{1}{r} V'_{,r} \right), \quad a^2 = \frac{\lambda + 2G}{\gamma}, \quad b^2 = \frac{G}{\gamma}. \quad (5)$$

Здесь  $G$  — модуль сдвига;  $\lambda$  — коэффициент Ламе;  $\gamma$  — плотность грунта;  $r$  — радиальная координата. Уравнение (5) представляет модель среды, учитывающую сжимаемость грунта вдоль оси трубы (коэффициент  $a^2$ ), сопротивляемость материала сдвигу (коэффициент  $b^2$ ) и инерционность грунта при движении его частиц вдоль оси трубы.

В монографии [42] эта модель последовательно применялась для широкого круга статических и динамических задач и было показано, что амплитуды деформаций и их частных производных в осевом направлении существенно превышают соответствующие величины в радиальном направлении. Это позволяет перейти от точной модели теории упругости к физически адекватной и математически более простой модели деформируемой среды с одним перемещением (5).

Граничное условие для уравнения (5) на поверхности трубы при отсутствии проскальзывания следующее:

$$V(z, r)|_{r=R} = U(z), \quad L - L_1 \leq z \leq L. \quad (6)$$

Оно определяет равенство перемещений трубы и грунта на поверхности трубы. Остальные граничные условия соответствуют отсутствию перемещений на внешней границе грунта  $r = R_2$  и напряжений на свободных поверхностях грунта:

$$V(z, r)|_{r=R_2} = 0 \quad (L - L_1 \leq z \leq L), \quad V'_{,z}(z, r)|_{z=L-L_1} = 0, \quad V'_{,z}(z, r)|_{z=L} = 0. \quad (7)$$

При этом реакция среды  $\tau$  выражается так:

$$\tau(z, t) = \frac{P_t}{S_t \rho} \begin{cases} G V'_{,r}|_{r=R}, & z > L - L_1, \\ 0, & z \leq L - L_1. \end{cases} \quad (8)$$

Здесь  $P_t = 2\pi R$  — периметр трубы.

На этапе проскальзывания грунта, когда  $\text{abs}(\tau) > \tau_0$ , труба взаимодействует с ним по закону сухого трения:

$$\tau(z, t) = \frac{P_t}{S_t \rho} \begin{cases} -k\tau_0, & z > L - L_1, \\ 0, & z \leq L - L_1, \end{cases} \quad (9)$$

$$k = \text{sign}[\dot{U}(z) - \dot{V}(z, R)] \quad \text{при} \quad \dot{U} - \dot{V} \neq 0.$$

Поскольку при проскальзывании силы трения, действующие на стержень и среду, совпадают по величине и различны по направлению, для среды имеем следующие граничные условия:

$$GV'_{,r} \Big|_{r=R} = k\tau_0. \quad (10)$$

Ниже предлагается способ сквозного численного расчета волновых процессов в системах с сухим трением, позволяющий рассматривать нагрузку любого типа, поскольку направление и величина силы трения в каждой точке стержня и в каждый момент времени выбирается в процессе решения из физических соображений, а также приведены аналитические оценки для некоторых задач.

**Особенности численных алгоритмов.** Система уравнений (1)–(10) решалась численно для одиночного удара. Использовалась явная конечно-разностная схема типа “крест” и способ минимизации численной дисперсии. Аппроксимация уравнения (5) имеет вид

$$V_{ji}^{n+1} - 2V_{ji}^n + V_{ji}^{n-1} = \left[ a^2 \Lambda_{jj} V_{ji}^n + b^2 \left( \Lambda_{ii} V_{ji}^n + \frac{1}{r} \Lambda_i^0 V_{ji}^n \right) \right] h_t^2. \quad (11)$$

Здесь  $\Lambda_{jj}$ ,  $\Lambda_{ii}$  — центрально-разностные операторы второго порядка по координатам  $z$ ,  $r$ ;  $\Lambda_i^0$  — центрально-разностный оператор первой производной по  $r$ ;  $V_{ji}^n = V(h_t n, h_z j, r_i)$  — сеточные значения перемещений среды в момент времени  $t = h_t n$  в точке с координатами  $z = h_z j$ ;  $r_i = R + h_r(i-1)$ ,  $i = 1, 2, \dots$ ;  $h_t$ ,  $h_z$ ,  $h_r$  — шаги разностной сетки по координатам  $t$ ,  $z$ ,  $r$ .

Аппроксимация уравнения (2) имеет вид

$$U_j^{n+1} - 2U_j^n + U_j^{n-1} = (c^2 \Lambda_{jj} U_j^n + \tau_j^n) h_t^2, \quad (12)$$

где  $U_j^n = U(h_t n, h_z j)$ ,  $\tau_j^n = \tau(h_t n, h_z j)$  — сеточные значения перемещений трубы и сдвиговых напряжений на поверхности трубы.

Условия устойчивости разностных уравнений (11) и (12) запишутся так:

$$h_t \leq \left( \frac{a^2}{h_z^2} + \frac{b^2}{h_r^2} \right)^{-1/2}, \quad h_t \leq \frac{h_z}{c}.$$

Оптимальными параметрами разностной сетки, обеспечивающими минимум численной дисперсии уравнений (11), (12), являются в осевом направлении  $h_z = ch_t$ , в радиальном —  $h_r = h_t cb / \sqrt{c^2 - a^2}$ .

Остановимся более подробно на аппроксимации граничных условий. Используем правую разность для первых производных на торце стержня  $z = 0$ :  $ES_t(U_1^n - U_0^n)/h_z = -Q(t)$ , и центрально-разностную аппроксимацию в граничном условии при  $z = L$ . Аналогично аппроксимируем граничные условия для среды на границах  $z = L - L_1$  и  $z = L$ . Для граничного условия (6) использовалась трехточечная аппроксимация [43].

Алгоритм расчета с учетом трения аналогичен [19, 21] и состоит в следующем. Поскольку ни направление, ни величина силы трения заранее неизвестны, в процессе решения вычисляются относительные скорости перемещений точек среды и трубы для двух возможных знаков  $k$  ( $k > 0$  и  $k < 0$ ):

а) в первом случае ( $k > 0$ ) введем фиктивную скорость  $U_j^+ - V_{j,1}^+$ , где

$$V_{j,1}^+ = \frac{V_{j,1}^{n+1} - V_{j,1}^n + h_t^2 \tau_0}{h_t}, \quad U_j^+ = \frac{U_j^{n+1} - U_j^n + h_t^2 \tau_0}{h_t};$$

б) во втором случае ( $k < 0$ ) введем фиктивную скорость  $\dot{U}_j^- - \dot{V}_{j,1}^-$ , где

$$V_{j,1}^- = \frac{V_{j,1}^{n+1} - V_{j,1}^n - h_t^2 \tau_0}{h_t}, \quad U_j^- = \frac{U_j^{n+1} - U_j^n - h_t^2 \tau_0}{h_t}.$$

В этих двух случаях  $V_{j,1}^{n+1}$  и  $U_j^{n+1}$  вычисляются из разностных уравнений (11), (12) без учета трения.

При этом возможны две ситуации:

1. Если скорости  $\dot{U}_j^+ - \dot{V}_{j,1}^+$  и  $\dot{U}_j^- - \dot{V}_{j,1}^-$  одного знака, то в качестве истинных значений смещений  $V_{j,1}^{n+1}$ ,  $U_j^{n+1}$  из  $V_{j,1}^+$ ,  $U_j^+$  и  $V_{j,1}^-$ ,  $U_j^-$  выбирается пара  $V_{j,1}^k$ ,  $U_j^k$ , для которой достигается минимум

$$\text{abs}(\dot{U}_j^k - \dot{V}_{j,1}^k) = \min[\text{abs}(\dot{U}_j^- - \dot{V}_{j,1}^-), \text{abs}(\dot{U}_j^+ - \dot{V}_{j,1}^+)].$$

2. Если скорости  $\dot{U}_j^+ - \dot{V}_{j,1}^+$  и  $\dot{U}_j^- - \dot{V}_{j,1}^-$  разных знаков или одна из этих скоростей обращается в нуль, то исходя из предположения о пассивности трения, следует вывод о том, что реальная относительная скорость среды и трубы равна нулю. Точки среды и трубы склеиваются и движутся вместе, следовательно, сила трения отсутствует и снова начинается упругое взаимодействие трубы и среды.

Таким образом, проблема определения границы, разделяющей области относительного движения и относительного покоя, представляющая основную трудность в аналитических решениях, сводится к выявлению точек, где  $\dot{V}_{j,1}^+ - \dot{U}_j^+$  и  $\dot{V}_{j,1}^- - \dot{U}_j^-$  разных знаков или одна из них обращается в нуль.

Поскольку в процессе расчета однозначно определяется величина и направление действия силы трения, на каждом временном слое решается линейная задача, в которой сила трения теперь определена и входит как нагрузка в правую часть уравнения. Остановимся далее на следующей особенности трения в задачах о взаимодействии трубы и грунта. В ряде случаев трение может играть как пассивную, так и активную роль. Например, если частицы среды и сечения стержня движутся в одном направлении и  $|\dot{V}| > |\dot{U}|$ , то трение ускоряет стержень, в противном случае тормозит. Если же  $\dot{V}$  и  $\dot{U}$  разного знака, то всегда реализуется торможение.

**Аналитические оценки.** С целью тестирования конечно-разностных алгоритмов получим аналитические оценки более простых постановок данной задачи.

Рассмотрим одномерную задачу. Имеется тонкий (в направлении оси  $z$ ) слой среды радиусом  $R_2$ , и в нее упруго заделана труба радиусом  $R$ . Движение среды описывается одномерным волновым уравнением по радиальной координате  $r$ , которое получено из (5) в предположении, что производными по оси  $z$  можно пренебречь:

$$\ddot{V} = b^2 \left( V''_{,rr} + \frac{1}{r} V'_{,r} \right), \quad b^2 = \frac{G}{\gamma}. \quad (13)$$

Граничные условия:

$$V(r)|_{r=R} = U, \quad V(r)|_{r=R_2} = 0. \quad (14)$$

Уравнение движения трубы получаем из (2), также предполагая, что зависимостью перемещения от переменной  $z$  можно пренебречь:

$$\ddot{U} = \frac{P_t G}{S_t \rho} V'_{,r} \Big|_{r=R} + \frac{Q(t)}{S_t \rho}. \quad (15)$$

Начальные условия нулевые.

Применим преобразование Лапласа по времени с параметром  $p$ . Уравнения движения и граничные условия (13)–(15) в изображениях имеют вид:

$$p^2 V^L = b^2 \left[ (V''_{,rr})^L + \frac{1}{r} (V'_{,r})^L \right], \quad p^2 V^L \Big|_{r=R} = \frac{P_t G}{S_t \rho} (V'_{,r})^L \Big|_{r=R} + \frac{Q^L}{S_t \rho}, \quad V^L \Big|_{r=R_2} = 0. \quad (16)$$

Рассмотрим сначала случай безграничной среды ( $R_2 \rightarrow \infty$ ). Предположим, что к трубе приложена ступенчатая нагрузка  $Q(t) = P_0 H_0(t)$ . Решение системы уравнений (16) в изображениях по Лапласу запишется так:

$$U^L = \frac{P_0 K_0(\eta)}{L S_t \rho p^2 (p K_0(\eta) + K_1(\eta) P_t \gamma b / S_t \rho)},$$

где  $K_0, K_1$  — цилиндрические функции мнимого аргумента,  $\eta = Rp/b$ .

Асимптотика решения в изображениях при  $p \rightarrow 0$ , что соответствует  $t \rightarrow \infty$  в пространстве оригиналов, имеет вид

$$U^L = \frac{P_0}{2\pi G p} \ln \left( \frac{pCR}{2b} \right).$$

Обращая преобразование Лапласа [44], получим следующую асимптотическую зависимость перемещения трубы от времени при  $t \rightarrow \infty$  в случае безграничной среды:

$$U(t) = \frac{P_0}{2\pi G} \ln \left( \frac{2bt}{R} \right), \quad (t \rightarrow \infty). \quad (17)$$

С учетом отражений волн от внешней границы  $r = R_2$  решение в изображениях уравнений (16) примет вид

$$U^L = \frac{P_0}{S_t \rho p^2} \left( p + \frac{[K_0(\eta)I_0(\eta_2) - I_0(\eta)K_0(\eta_2)] P_t \gamma b}{[K_1(\eta)I_0(\eta_2) - I_1(\eta)K_0(\eta_2)] S_t \rho} \right)^{-1}. \quad (18)$$

Здесь  $I_0, I_1$  — модифицированные функции Бесселя,  $\eta = Rp/b$ ,  $\eta_2 = R_2 p/b$ .

Если  $t \rightarrow \infty$  ( $p \rightarrow 0$ ), то из (18) следует, что решение осциллирует относительно статического положения равновесия, определяемого формулой

$$U_{stat} = \frac{P_0}{2\pi G} \ln \left( \frac{R_2}{R} \right). \quad (19)$$

На рис. 2 представлены результаты конечно-разностного решения системы уравнений (13)–(15) (сплошные линии), асимптотическое решение (17) (штриховая линия) и статическое значение (19) (штрихпунктирные линии). Толстые кривые соответствуют значению  $R_2 = 20$  м, тонкие —  $R_2 = 2$  м. Параметры разностной сетки:  $h_r = 0.01$  м,  $h_t = h_r / b$ . Остальные параметры:  $P_0 = 88$  кН,  $E = 2.1 \times 10^5$  МПа,  $h = 0.003$  м,  $R = 0.045$  м,  $\rho = 7530$  кг/м<sup>3</sup>,  $\gamma = 2000$  кг/м<sup>3</sup>,  $a = 0.611$  м/мс,  $b = 0.357$  м/мс — в дальнейшем взяты в качестве базового набора. Здесь и далее использованы среднестатистические параметры грунтов, соответствующие суглинку.

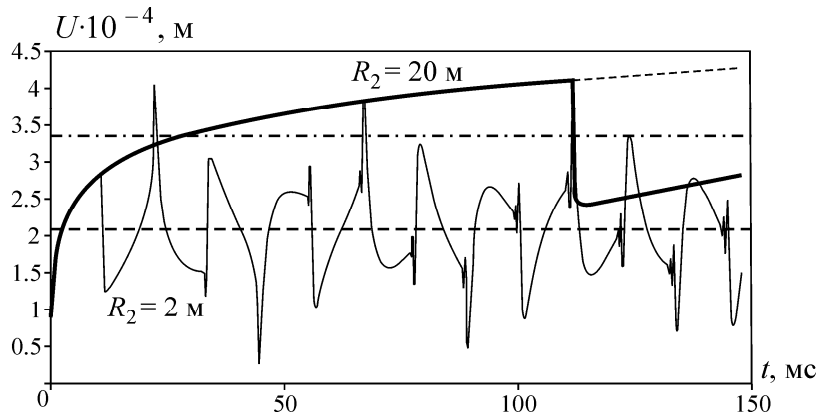


Рис. 2. Осциллограммы перемещений при ступенчатом воздействии

Анализ рис. 2 показывает, что асимптотическое решение (17) с большой точностью описывает конечно-разностное решение от начала воздействия до прихода первой отраженной от внешней границы волны. Наличие отражений от границ  $r = R$ ,  $r = R_2$  приводит к колебаниям перемещения относительно статического значения (19).

Рассмотрим теперь импульсное воздействие (1) на трубу со средой конечного радиуса  $R_2$ . Асимптотическое решение в изображениях системы уравнений (16) имеет следующий вид:

$$U^L = \frac{P_0 \omega_* (1 + e^{-p\pi/\omega_*})}{S_t \rho (p^2 + \omega_*^2)(p^2 + \beta^2)}, \quad \beta^2 = \frac{2\pi G}{S_t \rho \ln(R_2/R)}.$$

Обращая данное выражение [44], получим зависимость от времени для перемещения оболочки:

$$U = \frac{P_0}{S_t \rho \beta (\omega_*^2 - \beta^2)} \begin{cases} \omega_* \sin \beta t - \beta \sin \omega_* t, & t \leq t_0, \\ \omega_* (\sin \beta t + \sin \beta(t - t_0)), & t > t_0. \end{cases}$$

Если  $\omega_* \ll \beta$ , то эту формулу можно упростить:

$$U = U_0 \begin{cases} \sin \omega_* t, & t \leq t_0, \\ 0, & t > t_0. \end{cases} \quad U_0 = \frac{P_0}{S_t \rho \beta^2}. \quad (20)$$

На рис. 3 приведены примеры расчета импульсного воздействия на трубу, впаянную в среду ограниченного радиуса  $R_2 = 2$  м. Длительность импульса равна  $t_0 = 2(R_2 - R)/b$  для кривой 1,  $t_0 = 4(R_2 - R)/b$  — для кривой 2 и  $t_0 = 12(R_2 - R)/b$  — для кривой 3, остальные параметры из базового набора. Сплошные линии соответствуют конечно-разностному решению, штриховые — приближенному решению (20), штрихпунктирные — значению  $U_0$ . Сравнение решения (20) и

численных расчетов показывает, что если длительность импульса кратна времени четырех пробогов волны по среде от одной границы до другой:  $t_0 = 4n(R_2 - R)/b$  ( $n=1, 2, \dots$ ), то отраженные от внешней границы волны гасят импульс. Как видно на рис. 3, перемещение трубы и качественно и количественно верно описывается приближенным аналитическим решением (20).

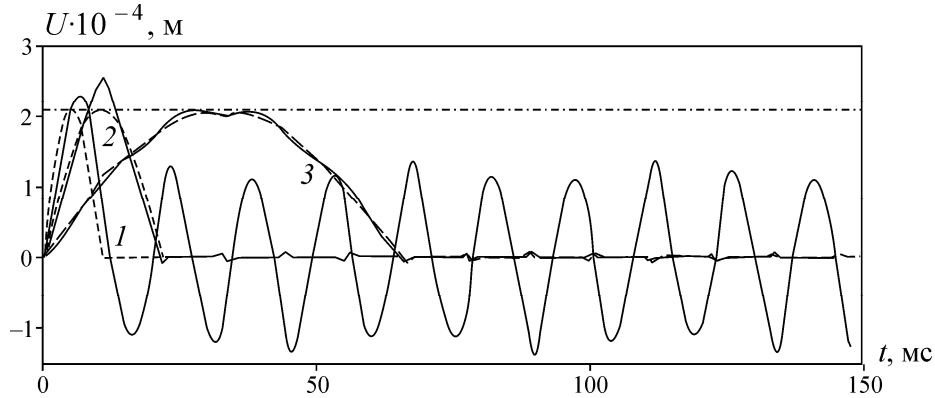


Рис. 3. Осциллограммы перемещений при импульсном воздействии

**Результаты численных расчетов двумерной задачи упругого взаимодействия на границе трубы и среды.** Проводились конечно-разностные расчеты системы уравнений (2)–(8) для слоя среды толщиной  $L = L_1 = 0.2 \text{ м} = 2h_z$  и радиусами  $R_2 = 2 \text{ м}$  и  $R_2 = 20 \text{ м}$  при ступенчатом воздействии. Анализ решений показал, что для двумерной задачи также характерна логарифмическая зависимость решения от времени, как и для одномерной. Качественное поведение решений одномерной (см. рис. 2) и двумерной задачи совпадает.

На рис. 4 представлены результаты численных расчетов перемещения оболочки в зависимости от времени при ступенчатом воздействии для различных значений длины трубы и среды ( $L = L_1$ ). Параметры задачи:  $R_2 = 20 \text{ м}$ ,  $h_z = 0.1 \text{ м}$ , остальные — из базового набора. Анализ расчетов показал, что с ростом длины трубы величина перемещений в сечении  $z = 0$  в момент времени  $t = 100 \text{ мс}$  уменьшается пропорционально логарифмической функции:  $F(L) = (898 \ln(L) + 2061)^{-1}$ . Для маленьких значений  $L$  (толщина слоя в направлении оси  $z$  равна двум шагам разностной сетки  $L = 2h_z$ ) конечно-разностное решение дает большую погрешность по сравнению с функцией  $F(L)$ .

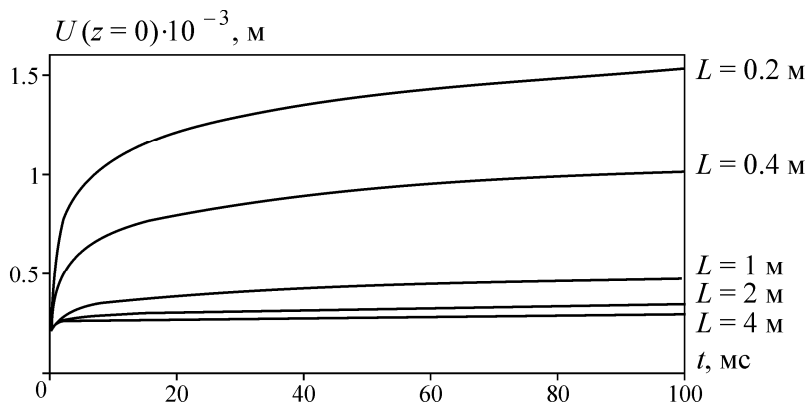


Рис. 4. Осциллограммы перемещений для различных значений длины трубы при ступенчатом воздействии

На рис. 5 показаны кривые перемещения трубы при действии полусинусоидального импульса (1), длительность которого равна  $t_0 = 4(R_2 - R)/b$ , для двух значений длины трубы и среды ( $L = L_1$ ). Параметры задачи:  $R_2 = 2$  м,  $h_z = 0.1$  м, остальные — из базового набора. Качественное поведение решений двумерной и одномерной задач совпадает (см. рис. 3, 5).

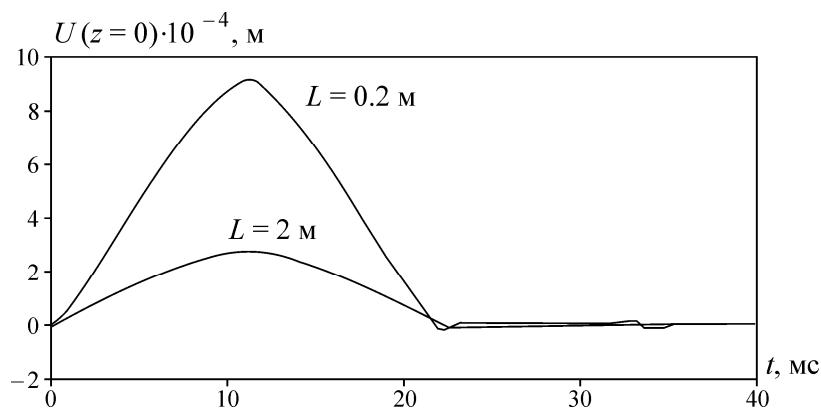


Рис. 5. Осциллограммы перемещений при импульсном воздействии

На рис. 6 приведены эпюры сдвиговых напряжений среды на поверхности трубы в различные моменты времени. Параметры задачи:  $L = 7.5$  м,  $L_1 = 4$  м,  $R_2 = 0.8$  м,  $t_0 = 0.25$  мс, остальные — из базового набора. На рис. 6б вертикальные штриховые линии соответствуют зоне квазифронтов:  $z = at$ . Анализ рис. 6а показывает, что в окрестности квазифронта продольной волны, бегущей со скоростью волн в стержне  $c$ , амплитуда максимальных сдвиговых напряжений со временем падает по экспоненте, как  $\sim e^{-0.85ct}$ . В окрестности квазифронта продольных волн в среде ( $z = at$ ) максимальная амплитуда сдвиговых напряжений падает примерно, как  $t^{-4/3}$  (рис. 6б). На рис. 6 видно, что со временем преобладают возмущения, движущиеся со скоростью продольных волн в среде. Анализ рис. 6б позволяет оценить величину силы трения, при которой начнется проскальзывание трубы в среде в зависимости от длины трубы и от амплитуды действующего импульса.

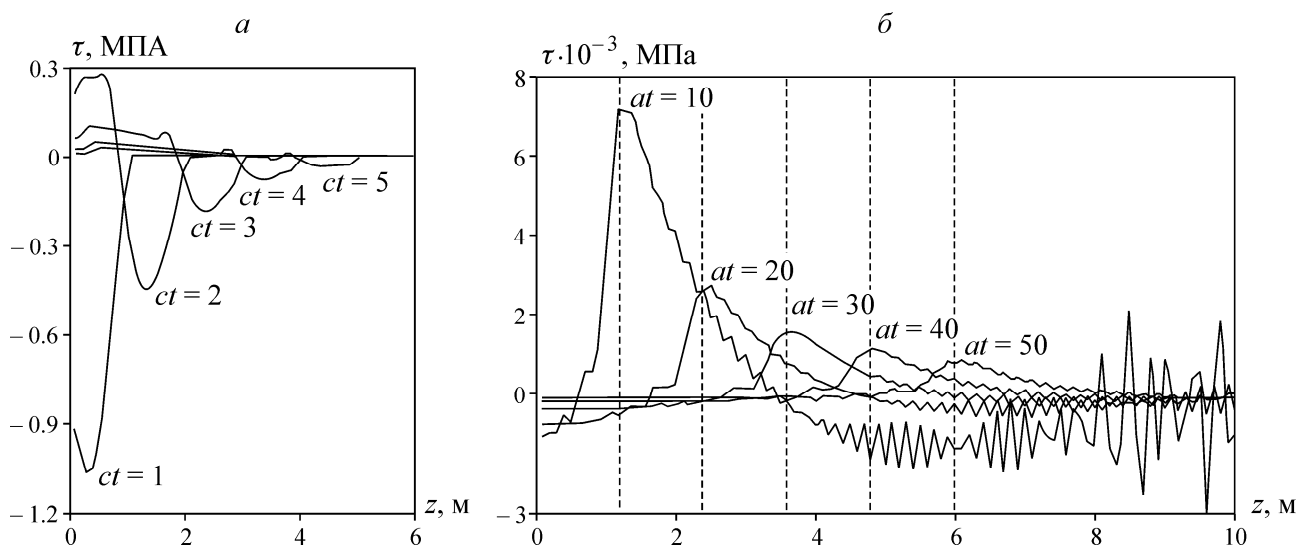


Рис. 6. Эпюры сдвиговых напряжений среды на поверхности трубы в различные моменты времени

**Результаты численных экспериментов для двумерной задачи с учетом проскальзывания на границе трубы и грунта.** На рис. 7 представлены зависимости перемещений трубы в точке  $z = 0$  от времени при действии полусинусоидального импульса для различных значений предельного сдвигового напряжения: рис. 7а —  $\tau_0 = 0.1, 0.05, 0.03, 0.02, 0.015, 0.01$  МПа, рис. 7б —  $\tau_0 = 10, 0.3, 0.2, 0.15, 0.1, 0.08$  МПа. Параметры задачи:  $L = 7.5$  м,  $L_1 = 4$  м,  $R_2 = 0.8$  м,  $t_0 = 0.22$  мс, остальные — из базового набора. Значение  $\tau_0 = 10$  МПа соответствует упругому процессу взаимодействия, при этом торец трубы  $z = 0$  совершает осцилляции относительно нуля. С уменьшением предельной амплитуды напряжений сдвига амплитуда осцилляций уменьшается (см. кривые  $\tau_0 = 0.3$  и  $\tau_0 = 0.2$  МПа на рис. 7б), а затем появляется остаточное смещение (см. кривые  $\tau_0 = 0.15$  и  $\tau_0 = 0.1$  МПа на рис. 7б и все кривые на рис. 7а), которое растет с уменьшением  $\tau_0$ . Как видно на рис. 7б, если  $\tau_0 \leq 2P_0 / LP_t$ , то происходит проскальзывание трубы относительно среды. Анализ зависимости перемещений в момент времени  $t = 100$  мс от коэффициента  $\tau_0$  показал, что эта зависимость близка к обратной функции:  $\max U(\tau_0) \approx 28\tau_0^{-1}$ .

Анализ расчетов перемещений, проведенных для различных значений длины трубы, показал, что зависимость среднего перемещения  $2U_{cp} = (\max_z U + \min_z U) \Big|_{t=100 \text{ мс}}$  обратно пропорциональна длине трубы. Этот результат качественно отличается от поведения трубы упруго заделанной в грунт (см. рис. 4), для которого эта зависимость имеет логарифмический характер.

Таким образом, можно сделать вывод, что при действии внешнего сухого трения перемещение трубы обратно пропорционально силе трения  $F_{тр} = P_t L \tau_0$ .

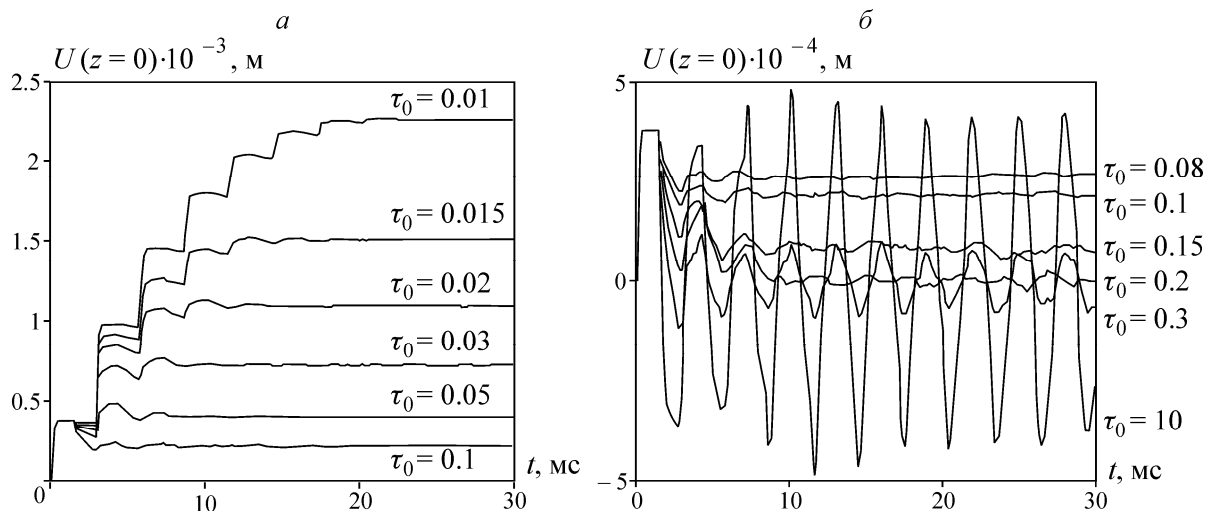


Рис. 7. Осциллограммы перемещений трубы в точке  $z = 0$

На рис. 8 приведены расчеты, выполненные по двум моделям, при импульсном воздействии для различных значений предельного сдвигового напряжения. Тонкая кривая соответствует модели (2)–(10), толстая — модели (2)–(4), (9), использованной в [21], в которой движение внешней среды не учитывается. Параметры задачи:  $L = 7.5$  м,  $L_1 = 4$  м,  $R_2 = 0.8$  м,  $t_0 = 0.22$  мс, остальные — из базового набора. Видно, что соответствие двух моделей достигается, если  $\tau_0 < 0.02$  МПа, т. е. если  $\tau_0 < P_0 / (4LP_t)$ . Из этого неравенства следует, что если дли-

на трубы не превосходит некоторой величины, зависящей от амплитуды импульса, предельного напряжения сдвига и периметра трубы —  $L < L_* = P_0 / (4\tau_0 P_t)$ , то можно не учитывать движение внешней среды и пользоваться более простой моделью.

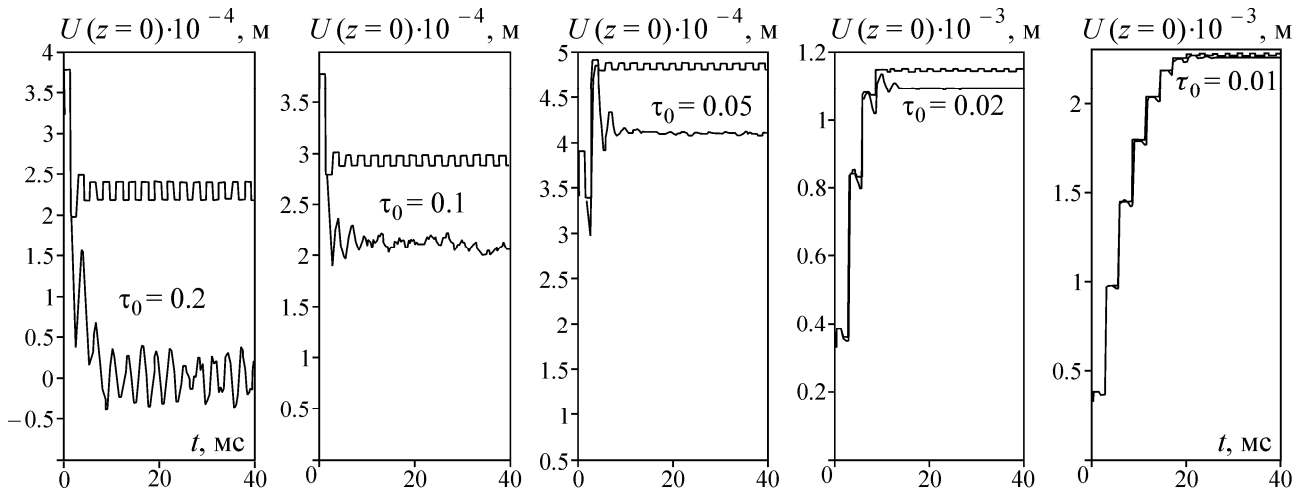


Рис. 8. Осциллограммы перемещений трубы в точке  $z = 0$

На рис. 9а приведены осциллограммы перемещений в сечении  $z = 0$  для различных значений амплитуды импульса. Параметры задачи:  $L = L_1 = 4$  м,  $t_0 = 1$  мс,  $E = 2.03 \times 10^5$  МПа,  $h = 0.01$  м,  $R = 0.1625$  м,  $\rho = 7805$  кг/м<sup>3</sup>,  $h_z = 0.1$  м,  $\tau_0 = 0.02$  МПа. На рис. 9а тонкие кривые соответствуют  $R_2 = 0.2$  м, толстые —  $R_2 = 4$  м. Как видно из сравнения кривых, при малых значениях амплитуды импульса ( $P_0 / S_t < 10$  кН) или, что то же самое, при малых отношениях  $P_0 / F_{тр}$  влияние внешнего радиуса среды на остаточное перемещение заметно. Таким образом, когда начинается проскальзывание, величина внешнего радиуса среды практически не оказывает влияние на волновой процесс в трубе. На рис. 9б показана зависимость перемещений в сечении  $z = 0$  в момент времени  $t = 100$  мс от амплитуды импульса. Конечно-разностное решение — тонкая кривая, его приближенная аппроксимация, которая описывается функцией  $U(P_0 / S_t) = 0.0014P_0^2 / S_t^2 - 0.0059P_0 / S_t - 0.008$ , — толстая кривая. Этот результат качественно подтверждает вывод, сделанный в [21], о том, что перемещение пропорционально квадрату амплитуды импульсного воздействия.

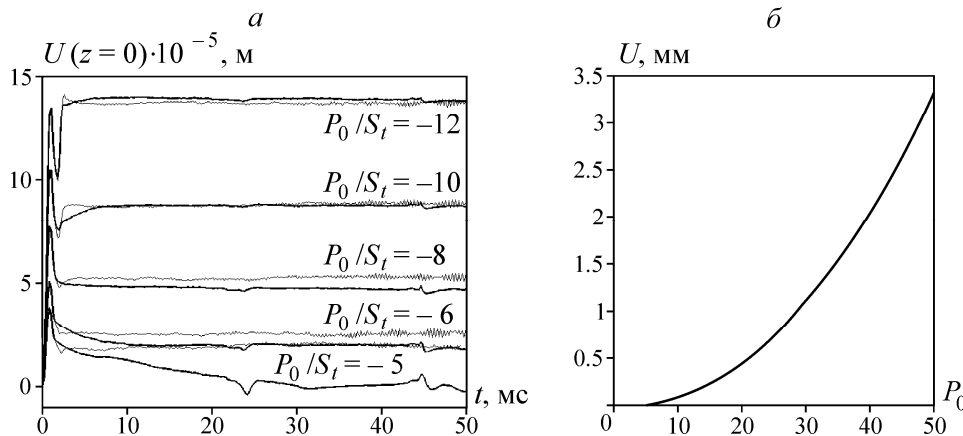


Рис. 9. Осциллограммы перемещений для различных значений амплитуды импульса (а) и зависимость перемещений от амплитуды импульса (б)

На рис. 10а представлены результаты расчетов осциллограмм перемещений для различных значений длины трубы ( $L = L_1 = 4, 10, 20, 30$  м) и различных значений амплитуды импульса,  $R_2 = 4$  м, остальные параметры задачи те же, что и на рис. 9. Цель данного численного эксперимента – определить значение амплитуды импульса, при котором средние остаточные перемещения начинают отличаться от нулевого значения, т. е. труба начинает проскальзывать. На рис. 10б приведена зависимость амплитуды импульса от длины трубы (сплошная линия), построенная на основе анализа результатов, представленных на рис. 10а. Приближенная аппроксимация этой зависимости линейна:  $P_0/S_t \approx 0.729L + 1.86$  (штриховая линия на рис. 10б). В [21] на модели, в которой не учитывается деформируемость окружающего трубу грунта, показано, что при данных параметрах, для того чтобы импульс дошел до конца трубы, должно выполняться равенство  $P_0/S_t = \tau_0 P_t L / (2S_t) \approx L$  (штрихпунктирная линия на рис. 10б). Расчеты, проведенные с учетом движения среды, показывают, что при  $L > 6$  м амплитуда импульса может быть меньше, чем следует из этой оценки.

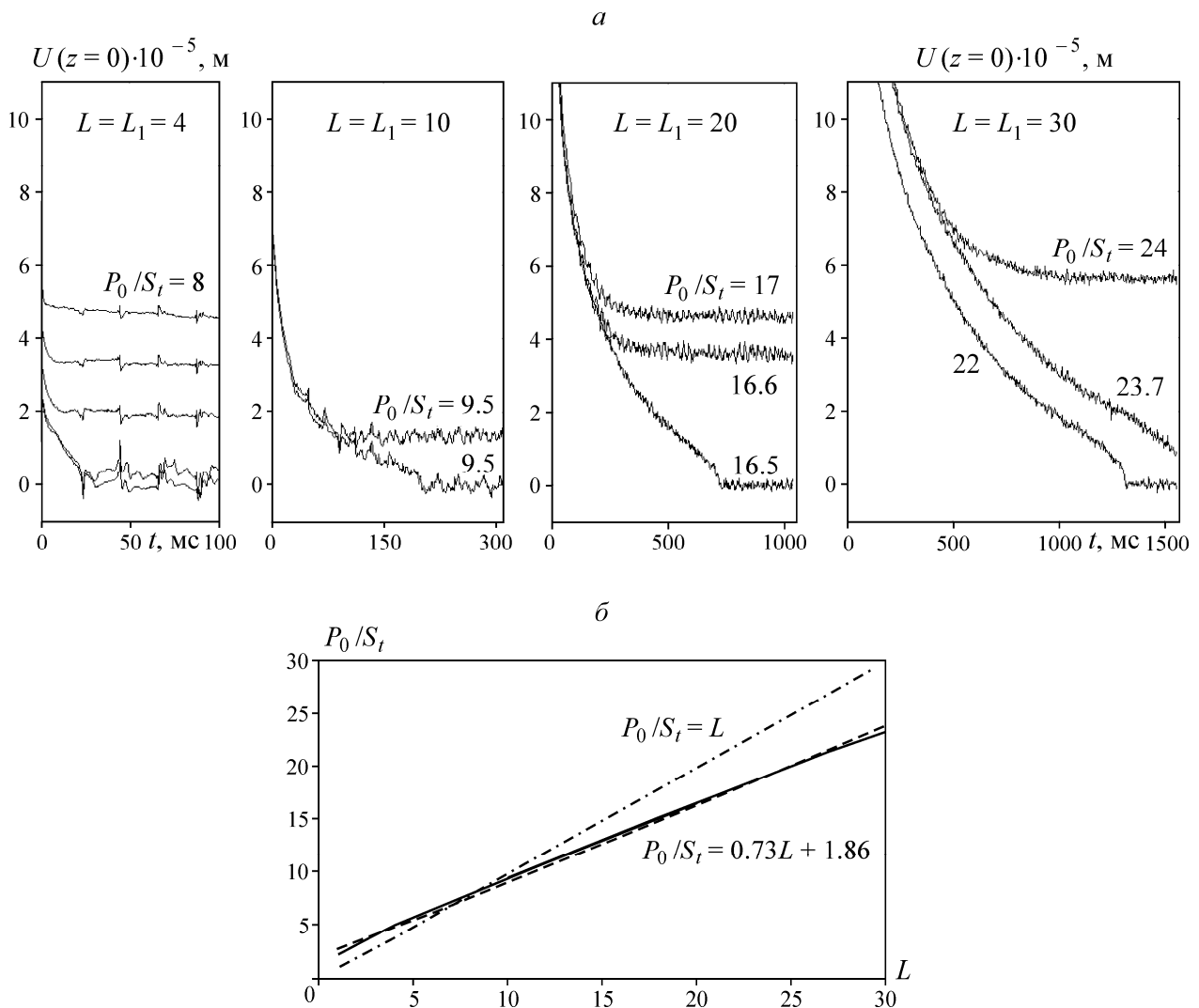


Рис. 10. Осциллограммы перемещений для различных значений амплитуды импульса (а) и зависимость амплитуды импульса, при котором труба начинает проскальзывать, от длины трубы (б)

**ВЫВОДЫ**

Получены явные аналитические решения одномерной в радиальном направлении задачи, описывающие поведение перемещений трубы, взаимодействующей упруго с внешней средой, при продольном воздействии. Показано, что численные и аналитические решения одномерной задачи совпадают с большой точностью. Кроме того, аналитические решения качественно верно описывают решение двумерной задачи при упругом взаимодействии трубы и среды.

В широком диапазоне изменения параметров задачи проведены конечно-разностные расчеты двумерной задачи при упругом взаимодействии с внешней средой и при сухом трении на поверхности контакта трубы и грунта. Установлено, что:

— если длина оболочки больше, чем  $L_*/4$ , где  $L_* = P_0 / (\tau_0 P_t)$ , то необходимо учитывать движение грунта;

— если длина оболочки меньше, чем  $L_*/4$ , то учет движения внешней среды, взаимодействующей с трубой по закону сухого трения Кулона, мало влияет на результаты и расчеты могут проводиться по упрощенной модели, в которой не учитывается движение грунта;

— если длина оболочки меньше, чем  $2L_*$ , то происходит проскальзывание трубы относительно среды, т. е. оболочка упруго колеблется в грунте;

— величина амплитуды импульса, при котором труба начинает проскальзывать, линейно зависит от длины оболочки;

— величина проскальзывания трубы зависит от силы трения  $F_{тр} = P_t L \tau_0$  обратно пропорционально;

Автор благодарит д-ра физ.-мат. наук Е.Н. Шера за внимание к работе.

**СПИСОК ЛИТЕРАТУРЫ**

1. Крагельский И. В., Щедров В. С. Развитие науки о трении. Сухое трение. — М.: Изд-во АН СССР, 1956.
2. Михин Н. М. Внешнее трение твердых тел. — М.: Наука, 1977.
3. Маркеев А. П. Динамика тела, соприкасающегося с твердой поверхностью. — М.: Наука, 1992.
4. Розенблат Г. М. Сухое трение и односторонние связи в механике твердого тела. — М.: URSS, 2010.
5. Андронов В. В., Журавлев В. Ф. Сухое трение в задачах механики. — М.; Ижевск: НИЦ “Регулярная и хаотическая динамика”, Ижевский институт компьютерных исследований, 2010.
6. Иванов А. П. Основы теории систем с сухим трением. — М.; Ижевск: НИЦ “Регулярная и хаотическая динамика”, Ижевский институт компьютерных исследований, 2011.
7. Веклич Н. А., Малышев Б. М. Распространение волн в упругих стержнях, находящихся в среде с сухим трением // Задачи механики твердого деформируемого тела. — М.: Изд-во МГУ, 1985.
8. Ормонбеков Т. Механика взаимодействия деформируемых тел. — Фрунзе: Илим, 1989.
9. Никитин Л. В. Статика и динамика твердых тел с внешним сухим трением. — М.: Московский Лицей, 1998.
10. Юнин Е. К. Загадки и парадоксы сухого трения. — М.: Изд-во “Книжный дом “ЛИБРОКОМ”, 2008.

11. **Герсеванов Н. М.** Свайные основания и расчет фундаментов сооружений. Т. 1. — М.: Стройвоенмориздат, 1948.
12. **Никитин Л. В.** Динамика упругих стержней с внешним сухим трением // Успехи механики. — 1988. — Т. 11. — Вып. 4.
13. **Никитин Л. В., Тюреходжаев А. Н.** Поведение под нагрузкой упругого стержня, заглубленного в грунт // Проблемы механики горных пород. — Алма-Ата: Наука, 1966.
14. **Никитин Л. В.** Удар жестким телом по упругому стержню с внешним сухим трением // Инж. журн. МТТ. — 1967. — № 2.
15. **Никитин Л. В., Тюреходжаев А. Н.** Поведение трубопровода под воздействием ударной волны в грунте // Трение, износ и смазочные материалы: тр. Междунар. науч. конф. Т. 3. Ч. 2. — Ташкент, 1985.
16. **Никитин Л. В., Тюреходжаев А. Н.** Демпфирование сухим трением динамических нагрузок в волокнистом композите // Механика композитных материалов. — 1986. — № 1.
17. **Жаркова Н. В., Никитин Л. В.** Прикладные задачи динамики упругих стержней // Изв. РАН. МТТ. — 2006. — № 6.
18. **Mogilevsky R. I., Onnonbekov T. O., Nikitin L. V.** Dynamics of Rods with Interfacial Dry Friction, Journal of the Mechanical Behavior of Materials, 1993, Vol. 5, Issue 1.
19. **Смирнов А. Л.** Динамика составных конструкций в среде при нестационарных воздействиях: автореф. дис. ... канд. физ.-мат. наук. — Новосибирск, 1990.
20. **Султанов К. С.** Численное решение задачи о распространении волн в вязкоупругом стержне с внешним трением // Изв. АН СССР. МТТ. — 1991. — № 6.
21. **Александрова Н. И.** Численно-аналитическое исследование процесса ударного погружения трубы в грунт с сухим трением. Ч. I. Внешняя среда не деформируема // ФТПРПИ. — 2012. — № 5.
22. **Smith E. A. L.** Pile driving analysis by the wave equation. ASCE, 1960, Vol. 86, No. SM4.
23. **Cornelius C. S., Kubitz W. K.** Experimental investigation of longitudinal wave propagation in an elastic rod with coulomb friction, Exp. Mech. 1970. Vol. 10, No. 4.
24. **Wilms E. V., Wempner G. A.** Motion of an elastic rod with external coulomb friction, Trans. ASME, 1968, Ser. B, Vol. 90.
25. **Wilms E. V.** Damping of a rectangular stress pulse in a thin elastic rod by external coulomb friction, J. Acoust. Soc. Am., 1969, Vol. 45, Issue 4.
26. **Rausche F., Moses F., Goble G.** Soil resistance predictions from pile dynamics. Journal of the Soil Mechanics and Foundations Division, 1972, ASCE, Vol. 98, No. SM9.
27. **Rausche F., Likins G., Goble G.** A Rational and Usable Wave Equation Soil Model Based on Field Test Correlation, In Proc. Int. Conf. On Design and Construction of Deep Foundations, Orlando. Florida. Dec. 1994.
28. **Sen R., Davies T. G., Banerjee P. K.** Dynamic analysis of piles and pile groups embedded in homogeneous soils. Earthquake Engineering & Structural Dynamics, 1985, Vol. 13, No. 1.
29. **Mabsout M., Tassoulas J.** A finite element model for the simulation of pile driving, Int. J. Numer. Methods in Engineering, 1994, Vol. 37, Issue 2.
30. **Mabsout M., Reese L. and Tassoulas J.** Study of Pile Driving by Finite-Element Method, J. Geotech. Engrg., 1995, Vol. 121, No. 7.
31. **Paik K. H., Salgado R., Lee J. H., Kim B. J.** The behavior of open- and closed-ended piles driven into sands, ASCE, 2003, Vol. 129, No. 4.

32. **Widjaja B.** Wave equation analysis and pile driving analyzer for driven piles: 18th floor office building Jakarta case, Int. Civil Engineering Conf. "Towards Sustainable Civil Engineering Practice", Sarabaya, August 25-26, 2006.
33. **Sheng D., Wriggers P., Sloan S. W.** Improved numerical algorithms for frictional contact in pile penetration analysis, Computers and Geotechnics, 2006, Vol. 33.
34. **Sheng D., Wriggers P. and Sloan S. W.** Application of Frictional Contact in Geotechnical Engineering, International Journal of Geomechanics, 2007, Vol.7, No. 3.
35. **Khelifi Z., Berga A., Terfaya N.** Modeling the Behavior of Axially and Laterally Loaded Pile with a Contact Model, EJGE, 2011, Vol. 16, Bund. N.
36. **Петреев А. М., Смоленцев А. С.** Передача энергии от ударного привода трубе через адаптер конструкций // ФТПРПИ. — 2011. — № 6.
37. **Исаков А. Л., Шмелев В. В.** Об эффективности передачи ударного импульса при забивании металлических труб в грунт // ФТПРПИ. — 1998. — № 1.
38. **Исаков А. Л., Шмелев В. В.** Анализ волновых процессов при забивании металлических труб в грунт с использованием генераторов ударных импульсов // ФТПРПИ. — 1998. — № 2.
39. **Белобородов В. Н., Исаков А. Л., Плавских В. Д., Шмелев В. В.** Моделирование процесса генерации ударного импульса при забивании металлических труб в грунт // ФТПРПИ. — 1997. — № 6.
40. **Белобородов В. Н., Глотова Т. Г.** Метод оценки упругих свойств грунта // ФТПРПИ. — 1998. — № 6.
41. **Sridhar N., Yang Q. D., Cox B. N.** Slip, stick, and reverse slip characteristics during dynamic fibre pul-lout, Journal of the Mechanics and Physics of Solids, 2003, 51.
42. **Ормонбеков Т.** Взаимодействие конструкций со средой. — Фрунзе: Илим, 1963.
43. **Абдукадыров С. А., Степаненко М. В., Пинчукова Н. И.** Об одном способе численного решения уравнений динамики упругих сред и конструкций // ФТПРПИ. — 1984. — № 6.
44. **Деч Г.** Руководство по практическому применению преобразования Лапласа и Z-преобразования. — М.: Наука, 1971.

*Поступила в редакцию 16/III 2013*